

Siehe ähnliche Dateien: <http://130.149.60.45/~farbmetrik/VG40/VG40LONA.TXT>
 Technische Information: <http://www.ps.bam.de> oder <http://130.149.60.45/~farbmetrik>

TUB-Registrierung: 20130201-VG40/VG40LONA.TXT /PS TUB-Material: Code=rh4ta
 Anwendung für Messung von Display-Ausgabe, keine Separation

i ₁ , λ ₁	i ₂ , λ ₂	Y ₁₀₀	A ₁₀₀	B ₁₀₀	C _{AB}	a	b	h _{AB}	i _d , λ _d	i _c , λ _c	Code	%
0 405	32 561	58.2	-22.74	-17.89	28.94	0.5596	-0.743	218.1	16 483	37 589	Cm	%
6 435	32 562	58.79	-26.78	-9.88	28.55	0.4948	-0.6036	200.2	17 486	42 610	%	%
10 450	32 563	59.42	-33.54	4.93	33.9	0.3859	-0.3525	171.6	19 496	-1 496c	%	%
12 460	33 565	60.32	-36.45	12.66	38.58	0.3461	-0.2256	160.8	21 505	-1 505c	%	%
12 465	33 567	61.66	-36.65	13.24	38.97	0.356	-0.2207	160.1	21 506	-1 506c	%	%
14 470	33 569	62.72	-38.14	19.32	42.76	0.3422	-0.1274	153.1	24 520	-1 520c	%	%
15 475	34 573	65.29	-38.28	22.47	44.39	0.364	-0.0913	149.5	25 528	-1 528c	Gm	%
16 480	36 580	69.95	-37.48	26.04	45.64	0.4146	-0.0632	145.2	27 537	-1 537c	%	%
17 485	39 595	78.75	-32.73	31.0	45.09	0.5347	-0.0418	136.5	29 548	-1 548c	%	%
18 490	-1 490c	93.8	-12.06	38.4	40.25	0.8218	-0.0261	107.4	33 565	11 459	max	%
19 495	-1 495c	92.3	-10.68	38.39	39.85	0.8346	-0.0195	105.5	33 566	12 462	%	%
20 500	-1 500c	90.42	-8.91	38.07	39.1	0.8518	-0.0144	103.1	33 567	12 464	%	%
22 510	-1 510c	85.27	-4.15	36.48	36.72	0.9016	-0.0076	96.5	33 569	13 469	%	%
23 520	-1 519c	81.98	-1.26	35.24	35.26	0.935	-0.0056	92.0	34 570	14 471	Ym	%
25 530	-1 529c	74.04	5.15	32.02	32.43	1.0201	-0.0031	80.8	34 573	15 475	%	%
27 540	-1 539c	64.9	11.57	28.16	30.44	1.1288	-0.0016	67.6	35 577	15 478	%	%
28 545	-1 544c	60.13	14.5	26.11	29.87	1.1917	-0.0012	60.9	35 579	15 479	%	%
29 550	-1 549c	55.26	17.18	24.01	29.53	1.2613	-0.0009	54.4	36 582	16 480	%	%
30 555	-1 554c	50.4	19.49	21.91	29.33	1.3372	-0.0007	48.3	36 584	16 481	%	%
32 560	-1 560c	41.0	22.8	17.83	28.95	1.5064	-0.0005	38.0	37 589	16 483	%	%
380	770	100.0	0.0	0.0	0.01	0.9504	-0.4355	0.0			%	%

i ₁ , λ ₁	i ₂ , λ ₂	Y ₁₀₀	A ₁₀₀	B ₁₀₀	C _{AB}	a	b	h _{AB}	i _d , λ _d	i _c , λ _c	Code	%
32 561	0 405	41.79	22.74	17.89	28.94	1.4946	-0.0072	38.1	37 589	16 483	Rm	%
32 562	6 435	41.2	26.78	9.88	28.55	1.6006	-0.1956	20.2	42 610	17 486	%	%
32 563	10 450	40.57	33.54	-4.93	33.9	1.7771	-0.557	351.6	-1 496c	19 496	%	%
33 565	12 460	39.67	36.45	-12.66	38.58	1.8691	-0.7547	340.8	-1 505c	21 505	%	%
33 567	12 465	38.33	36.65	-13.24	38.97	1.9064	-0.781	340.1	-1 506c	21 506	%	%
33 569	14 470	37.27	38.14	-19.32	42.76	1.9738	-0.954	333.1	-1 520c	24 520	%	%
34 573	15 475	34.7	38.28	-22.47	44.39	2.0536	-1.083	329.5	-1 528c	25 528	Mm	%
36 580	16 480	30.04	37.48	-26.04	45.64	2.1982	-1.3026	325.2	-1 537c	27 537	%	%
39 595	17 485	21.24	32.73	-31.0	45.09	2.4914	-1.8952	316.5	-1 548c	29 548	%	%
-1 490c	18 490	6.19	12.06	-38.4	40.25	2.899	-6.6372	287.4	11 459	33 565	min	%
-1 495c	19 495	7.69	10.68	-38.39	39.85	2.3392	-5.4245	285.5	12 462	33 566	%	%
-1 500c	20 500	9.57	8.91	-38.07	39.1	1.8814	-4.4105	283.1	12 464	33 567	%	%
-1 510c	22 510	14.72	4.15	-36.48	36.72	1.2328	-2.9143	276.5	13 469	33 569	%	%
-1 519c	23 520	18.01	1.26	-35.24	35.26	1.0204	-2.3925	272.0	14 471	34 570	Bm	%
-1 529c	25 530	25.95	-5.15	-32.02	32.43	0.7516	-1.6693	260.8	15 475	34 573	%	%
-1 539c	27 540	35.09	-11.57	-28.16	30.44	0.6205	-1.238	247.6	15 478	35 577	%	%
-1 544c	28 545	39.86	-14.5	-26.11	29.87	0.5865	-1.0906	240.9	15 479	35 579	%	%
-1 549c	29 550	44.73	-17.18	-24.01	29.53	0.5663	-0.9725	234.4	16 480	36 582	%	%
-1 554c	30 555	49.59	-19.49	-21.91	29.33	0.5572	-0.8774	228.3	16 481	36 584	%	%
-1 560c	32 560	58.99	-22.8	-17.83	28.95	0.5638	-0.7379	218.0	16 483	37 589	%	%
380	770	100.0	0.0	0.0	0.01	0.9504	-0.4355	0.0			%	%

i ₁ , λ ₁	i ₂ , λ ₂	Y ₁₀₀	A ₁₀₀	B ₁₀₀	C _{AB}	a	b	h _{AB}	i _d , λ _d	i _c , λ _c	Code	%
0 405	31 556	56.57	-21.89	-18.32	28.54	0.5611	-0.7532	219.9	15 476	37 585	Cm	%
6 435	31 557	57.41	-26.44	-8.79	27.86	0.4876	-0.5825	198.4	16 480	44 621	%	%
10 450	31 559	57.53	-32.48	6.09	33.05	0.3834	-0.3234	169.3	18 491	-1 491c	%	%
11 460	32 562	59.27	-33.9	10.52	35.5	0.3761	-0.2517	162.7	19 498	-1 498c	%	%
12 465	33 565	60.91	-34.93	14.56	37.84	0.3747	-0.1903	157.3	21 506	-1 506c	%	%
14 470	34 570	63.07	-35.18	20.67	40.8	0.3903	-0.1016	149.5	24 522	-1 522c	%	%
15 475	35 579	68.64	-33.55	24.85	41.75	0.4593	-0.0672	143.4	26 533	-1 533c	Gm	%
16 480	41 606	81.94	-23.65	31.88	39.7	0.6594	-0.0401	126.5	30 550	-1 550c	%	%
16 485	-1 484c	92.3	-10.45	36.33	37.8	0.8348	-0.0356	106.0	32 560	10 454	%	%
18 490	-1 490c	89.06	-7.57	36.55	37.33	0.863	-0.0188	101.7	32 562	11 459	max	%
19 495	-1 495c	87.05	-5.68	36.18	36.62	0.8828	-0.0136	98.9	32 563	12 461	%	%
19 500	-1 499c	87.05	-5.68	36.18	36.62	0.8828	-0.0136	98.9	32 563	12 461	%	%
22 510	-1 510c	79.1	1.43	33.55	33.58	0.9662	-0.0051	87.5	33 567	13 466	%	%
23 520	-1 519c	75.81	4.11	32.27	32.53	1.0024	-0.0036	82.7	33 568	13 468	Ym	%
26 530	-1 530c	64.17	12.31	27.48	30.11	1.14	-0.001	65.8	34 573	14 472	%	%
27 540	-1 539c	59.9	14.81	25.68	29.65	1.1955	-0.0005	60.0	35 576	14 473	%	%
28 545	-1 544c	55.54	17.09	23.83	29.32	1.2559	-0.0002	54.3	35 578	14 474	%	%
29 550	-1 549c	51.12	19.09	21.94	29.08	1.3215	-0.0001	48.9	36 580	15 475	%	%
31 555	-1 555c	42.37	21.98	18.19	28.53	1.4668	0.0	39.6	37 586	15 476	%	%
32 560	10 451	40.04	32.52	-6.18	33.11	1.7604	-0.5838	349.2	-1 492c	18 492	%	%
380	770	100.0	0.0	0.0	0.01	0.9481	-0.4293	0.0			%	%

i ₁ , λ ₁	i ₂ , λ ₂	Y ₁₀₀	A ₁₀₀	B ₁₀₀	C _{AB}	a	b	h _{AB}	i _d , λ _d	i _c , λ _c	Code	%
31 556	0 405	43.42	21.89	18.32	28.54	1.4522	-0.0074	39.9	37 585	15 476	Rm	%
31 557	6 435	42.58	26.44	8.79	27.86	1.5691	-0.2226	18.4	44 621	16 480	%	%
31 559	10 450	42.46	32.48	-6.09	33.05	1.713	-0.5727	349.3	-1 491c	18 491	%	%
32 562	11 460	40.72	33.9	-10.52	35.5	1.7807	-0.6879	342.7	-1 498c	19 498	%	%
33 565	12 465	39.08	34.93	-14.56	37.84	1.8419	-0.8019	337.3	-1 506c	21 506	%	%
34 570	14 470	36.92	35.18	-20.67	40.8	1.901	-0.9891	329.5	-1 522c	24 522	%	%
35 579	15 475	31.35	33.55	-24.85	41.75	2.0184	-1.2222	323.4	-1 533c	26 533	Mm	%
41 606	16 480	18.05	23.65	-31.88	39.7	2.2587	-2.1959	306.5	-1 550c	30 550	%	%
-1 484c	16 485	7.69	10.45	-36.33	37.8	2.306	-5.1484	286.0	10 454	32 560	%	%
-1 490c	18 490	10.93	7.57	-36.55	37.33	1.6407	-3.7725	281.7	11 459	32 562	min	%
-1 495c	19 495	12.94	5.68	-36.18	36.62	1.3873	-3.2239	278.9	12 461	32 563	%	%
-1 499c	19 500	12.94	5.68	-36.18	36.62	1.3873	-3.2239	278.9	12 461	32 563	%	%
-1 510c	22 510	20.89	-1.43	-33.55	33.58	0.8795	-2.035	267.5	13 466	33 567	%	%
-1 519c	23 520	24.18	-4.12	-32.27	32.53	0.7777	-1.7639	262.7	13 468	33 568	Bm	%
-1 530c	26 530	35.82	-12.31	-27.48	30.11	0.6044	-1.1965	245.8	14 472	34 573	%	%
-1 539c	27 540	40.09	-14.81	-25.68	29.65	0.5785	-1.0699	240.0	14 473	35 576	%	%
-1 544c	28 545	44.45	-17.09	-23.83	29.32	0.5635	-0.9653	234.3	14 474	35 578	%	%
-1 549c	29 550	48.87	-19.09	-21.94	29.08	0.5575	-0.8782	228.9	15 475	36 580	%	%
-1 555c	31 555	57.62	-21.98	-18.19	28.53	0.5667	-0.745	219.6	15 476	37 586	%	%
10 451	32 560	59.95	-32.52	6.18	33.11	0.4056	-0.3					

rgb⁶_{e,AB} und CIE-Daten eines Elementar-Bunttonkreises nach CIE R1-47 für Ostwald-Farben für CIE-Lichtart D65

Yxy, abc_{AB}, ABC_{AB}, Lab^C_{ab,AB}-Daten für relative Stufung des Elementarbunttonkreises h_{AB} von LYNAB für CIE-2-Grad Beobachter

Elementar-Bunttonkreis mit 4 Ziel-Elementar-Bunttonwinkeln: h_{AB} = 17.7, 93.3, 159.1, 270.8 von LYNAB und 90-Ziel-Bunttonwinkeln:

000, 001, ..., 089, LYNAB-Daten CIE-Testfarben 9 (R): 11.2 9.9 3.1, 10 (Y): 59.0 -1.2 20.9, 11 (G): 20.3 -7.2 27.1, 12 (B): 6.4 0.1 -8.2

Table with columns: no., AB, x, y, a, b, C_{AB}, h_{AB}, L*, a*, b*, C_{ab}, h_{ab}, rgb⁶_{e,AB}, Code_{AB}. Contains 100 rows of color data for various hues and saturations.

rgb⁶_{e,AB} und CIE-Daten eines Elementar-Bunttonkreises nach CIE R1-47 für Ostwald-Farben für CIE-Lichtart D65

Yxy, abc_{AB}, ABC_{AB}, Lab^C_{ab,AB}-Daten für relative Stufung des Elementarbunttonkreises h_{AB} von LYNAB für CIE-2-Grad Beobachter

Elementar-Bunttonkreis mit 4 Ziel-Elementar-Bunttonwinkeln: h_{AB} = 18.2, 86.3, 156.2, 260.1 von LYNAB und 90-Ziel-Bunttonwinkeln:

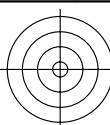
000, 001, ..., 089, LYNAB-Daten CIE-Testfarben 9 (R): 10.8 8.7 2.8, 10 (Y): 55.9 1.2 19.6, 11 (G): 20.4 -6.8 3.0, 12 (B): 7.8 -1.2 -7.2

Table with columns: no., AB, x, y, a, b, C_{AB}, h_{AB}, L*, a*, b*, C_{ab}, h_{ab}, rgb⁶_{e,AB}, Code_{AB}. Contains 100 rows of color data for various hues and saturations.

Stiehe ähnliche Dateien: http://130.149.60.45/~farbmetrik/VG40/VG40 HTM
Technische Information: http://www.ps.bam.de oder http://130.149.60.45/~farbmetrik

TUB-Registrierung: 201310201-VG40V-G40LONA.TXT /.PS
Anwendung für Messung von Display-Ausgabe, keine Separation
TUB-Material: Code=rha4ta

http://130.149.60.45/~farbmetrik/VG40/VG40LONA.TXT /PS; Transfer Ausgabe
N: Keine 3D-Linearisierung (OL) in Datei (F) oder PS-Startup (S), Seite 4/5



Stiehe ähnliche Dateien: <http://130.149.60.45/~farbmetrik/VG40/VG40LONA.TXT>
Technische Information: <http://www.ps.bam.de> oder <http://130.149.60.45/~farbmetrik>

TUB-Registrierung: 20130201-VG40/VG40LONA.TXT /PS TUB-Material: Code=rha4ta
Anwendung für Messung von Display-Ausgabe, keine Separation

rgb⁷_{e,AB} und CIE-Daten eines Elementar-Bunttonkreises nach CIE R1-47 für Ostwald-Farben für CIE-Lichtart D65

X_{xy}, abc_{AB}, ABC_{AB}, LabC_{ab}, Lab_{ab}-Daten für relative Stufung des Elementarbunttons h_{AB} von LINYAB für CIE-2-Grad Beobachter

Elementar-Bunttonkreis mit 4 Ziel-Elementar-Bunttonwinkeln: h_{AB} = 17.7, 93.3, 159.1, 270.8 von LINYAB und 90 Ziel-Bunttonwinkeln:

180, 181, ..., 269, LINYAB-Daten CIE-Testfarben 9 (R): 11.2 9.9 3.1, 10 (Y): 59.0 -1.2 20.9, 11 (G): 20.3 -7.2 27.7, 12 (B): 6.4 0.1 -8.2

Table with columns: no., AB, X0, Y0, a10, b10, CAB10, hAB10, L*10, a*10, b*10, C*ab10, hAB10, rgb7_e,AB, CodeAB10. Contains 269 rows of color data.

CIEXYZ-Daten von CIE-Testfarben 9 (R): 20.6 11.2 4.3, 10 (Y): 54.8 59.0 12.0, 11 (G): 12.1 20.3 15.3, 12 (B): 6.2 6.4 27.6

rgb⁷_{e,AB} und CIE-Daten eines Elementar-Bunttonkreises nach CIE R1-47 für Ostwald-Farben für CIE-Lichtart D65

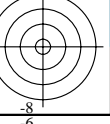
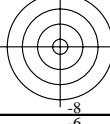
X_{xy}, abc_{AB}, ABC_{AB}, LabC_{ab}, Lab_{ab}-Daten für relative Stufung des Elementarbunttons h_{AB} von LINYAB für CIE-10-Grad Beobachter

Elementar-Bunttonkreis mit 4 Ziel-Elementar-Bunttonwinkeln: h_{AB} = 18.2, 86.3, 156.2, 260.1 von LINYAB und 90 Ziel-Bunttonwinkeln:

180, 181, ..., 269, LINYAB-Daten CIE-Testfarben 9 (R): 10.8 8.7 2.8, 10 (Y): 55.9 1.2 19.6, 11 (G): 20.4 -6.8 3.0, 12 (B): 7.8 -1.2 -7.2

Table with columns: no., AB, X0, Y0, a10, b10, CAB10, hAB10, L*10, a*10, b*10, C*ab10, hAB10, rgb7_e,AB, CodeAB10. Contains 269 rows of color data.

CIEXYZ-Daten von CIE-Testfarben 9 (R): 19.0 10.8 4.3, 10 (Y): 54.3 55.9 11.0, 11 (G): 12.5 20.4 14.4, 12 (B): 6.1 7.8 26.5



TUB-Prüfvorlage VG40; CIE-Daten für 360 Ostwald-Farben Eingabe: w/rgb/cmyk ->
LINYAB, X_{xy}, YABCAB_h, LabCab_h-Daten, D65, 2- und 10-Grad Beobachter

http://130.149.60.45/~farbmetrik/VG40/VG40LONA.TXT /.PS; Transfer Ausgabe
N: Keine 3D-Linearisierung (OL) in Datei (F) oder PS-Startup (S), Seite 5/5

Stiehe ähnliche Dateien: http://130.149.60.45/~farbmetrik/VG40/VG40LONA.TXT /.PS
Technische Information: http://www.ps.bam.de oder http://130.149.60.45/~farbmetrik

rgb^e_{AB}* und CIE-Daten eines Elementar-Bunttonkreises nach CIE R1-47 für Ostwald-Farben für CIE-Lichtart D65

Yxy, abc_{AB}, ABC_{AB}, Lab^C_{ab}, ab_{ab}-Daten für relative Stufung des Elementarbunttons h_{AB} von LYNAB für CIE-2-Grad Beobachter

Elementar-Bunttonkreis mit 4 Ziel-Elementar-Bunttonwinkeln: h_{AB} = 17.7, 93.3, 159.1, 270.8 von LYNAB und 90-Grad-Bunttonwinkeln:

270, 271, ..., 360, LYNAB-Daten CIE-Testfarben 9 (R): 11.2 9.9 3.1, 10 (Y): 59.0 -1.2 20.9, 11 (G): 20.3 -7.2 27.2, 12 (B): 6.4 0.1 -8.2

Table with columns: no., AB, x, y, a, b, c, Lab, h, L*, a*, b*, C*, ab, h, ab, rgb, Code. Contains 360 rows of color data for various wavelengths and test colors.

CIEXYZ-Daten of CIE-Testfarben 9 (R): 20.6 11.2 4.3, 10 (Y): 54.8 59.0 12.0, 11 (G): 12.1 20.3 15.3, 12 (B): 6.1 6.2 42.6

rgb^e_{AB}* und CIE-Daten eines Elementar-Bunttonkreises nach CIE R1-47 für Ostwald-Farben für CIE-Lichtart D65

Yxy, abc_{AB}, ABC_{AB}, Lab^C_{ab}, ab_{ab}-Daten für relative Stufung des Elementarbunttons h_{AB} von LYNAB für CIE-10-Grad Beobachter

Elementar-Bunttonkreis mit 4 Ziel-Elementar-Bunttonwinkeln: h_{AB} = 18.2, 86.3, 156.2, 260.1 von LYNAB und 90-Grad-Bunttonwinkeln:

270, 271, ..., 360, LYNAB-Daten CIE-Testfarben 9 (R): 10.8 8.7 2.8, 10 (Y): 55.9 1.2 19.6, 11 (G): 20.4 -6.8 3.0, 12 (B): 7.8 -1.2 -7.2

Table with columns: no., AB, x, y, a, b, c, Lab, h, L*, a*, b*, C*, ab, h, ab, rgb, Code. Contains 360 rows of color data for various wavelengths and test colors.

CIEXYZ-Daten of CIE-Testfarben 9 (R): 19.0 10.8 4.3, 10 (Y): 54.3 55.9 11.0, 11 (G): 12.5 20.4 14.4, 12 (B): 6.1 7.8 26.5

TUB-Registrierung: 20130201-VG40/VG40LONA.TXT /.PS
Anwendung für Messung von Display-Ausgabe, keine Separation
TUB-Material: Code=rha4ta

TUB-Prüfvorlage VG40; CIE-Daten für 360 Ostwald-Farben Eingabe: w/rgb/cmyk -> LYNAB, Yxy, YABCAB, LabCabh, LabCabh-Daten, D65, 2- und 10-Grad-Beobachter